

复分析第一次习题课

黄天一

2023年3月17日

1 习题讲解

1.1 作业部分

1.1.5. 设 $|a| < 1$, 证明: 若 $|z| = 1$, 则 $\left| \frac{z-a}{1-\bar{a}z} \right| = 1$.

证明. 直接计算可得

$$|z-a|^2 = |z|^2 - 2z\bar{a} - 2\bar{z}a + |a|^2 = 1 - 2z\bar{a} - 2\bar{z}a + |a|^2|z|^2 = |1-\bar{a}z|^2.$$

□

1.1.6. 设 $|a| < 1, |z| < 1$, 证明:

$$(1) \left| \frac{z-a}{1-\bar{a}z} \right| < 1.$$

$$(2) 1 - \left| \frac{z-a}{1-\bar{a}z} \right|^2 = \frac{(1-|a|^2)(1-|z|^2)}{|1-\bar{a}z|^2}.$$

$$(3) \frac{||z|-|a||}{1-|a||z|} \leq \left| \frac{z-a}{1-\bar{a}z} \right| \leq \frac{|z|+|a|}{1+|a||z|}.$$

证明. (1-2) 直接证明 (2), (1) 是推论. 计算可得

$$1 - \left| \frac{z-a}{1-\bar{a}z} \right|^2 = \frac{(1-\bar{a}z - a\bar{z} + |a|^2|z|^2) - (|z|^2 - \bar{a}z - a\bar{z} + |a|^2)}{|1-\bar{a}z|^2} = \frac{(1-|a|^2)(1-|z|^2)}{|1-\bar{a}z|^2}.$$

(3) 考虑函数 $f(t) = \frac{\alpha+t}{\beta+t}$, 其中 $\alpha < \beta$. 则当 $t > \max\{-\alpha, -\beta\}$ 时, $f(t)$ 是单调递增的 (糖水不等式). 结合 $|z|^2 + |a|^2 < 1 + |a|^2|z|^2$ 可得

$$\left| \frac{z-a}{1-\bar{a}z} \right|^2 = \frac{|z|^2 + |a|^2 - \bar{a}z - a\bar{z}}{1 + |a|^2|z|^2 - \bar{a}z - a\bar{z}} \leq \frac{|z|^2 + |a|^2 + 2|a||z|}{1 + |a|^2|z|^2 + 2|a||z|} = \left(\frac{|z|+|a|}{1+|a||z|} \right)^2.$$

$$\left| \frac{z-a}{1-\bar{a}z} \right|^2 = \frac{|z|^2 + |a|^2 - \bar{a}z - a\bar{z}}{1 + |a|^2|z|^2 - \bar{a}z - a\bar{z}} \geq \frac{|z|^2 + |a|^2 - 2|a||z|}{1 + |a|^2|z|^2 - 2|a||z|} = \left(\frac{|z| - |a|}{1 - |a||z|} \right)^2.$$

□

1.2.14. 设 L 是由方程 $az\bar{z} + \bar{\beta}z + \beta\bar{z} + d = 0$ 所确定点的轨迹, 其中 $a, d \in \mathbb{R}, \beta \in \mathbb{C}$. 证明:

(1) $a = 0, \beta \neq 0$ 时, L 是直线.

(2) $a \neq 0, |\beta|^2 - ad > 0$ 时, L 是一个圆周, 并求出它的圆心和半径.

证明. (1) 此时 L 方程为 $\bar{\beta}z + \beta\bar{z} + d = 0$. 将 $z = x + iy, \beta = a + ib$ 代入可得在实坐标下 L 方程为 $ax + by + d = 0$, 为直线.

(2) 此时 L 的方程可整理为

$$L: \left| z + \frac{\beta}{a} \right|^2 = \frac{|\beta|^2 - ad}{a^2}.$$

所以 L 是一个圆周, 圆心为 $-\frac{\beta}{a}$, 半径为 $\frac{\sqrt{|\beta|^2 - ad}}{|a|}$.

□

1.2.15. 设 $z_1 \neq z_2, 0 < \lambda \neq 1$, 证明由方程 $\left| \frac{z-z_1}{z-z_2} \right| = \lambda$ 所确定的点 z 的轨迹是一圆周 (称为 Apollonius 圆), 求该圆周的圆心 a 和半径 R . $\lambda = 1$ 时它的轨迹是什么?

证明. 整理该方程可得

$$\begin{aligned} \left| \frac{z-z_1}{z-z_2} \right| = \lambda &\Leftrightarrow |z-z_1|^2 = \lambda^2|z-z_2|^2 \\ &\Leftrightarrow (1-\lambda^2)z\bar{z} + (\lambda^2\bar{z}_2 - \bar{z}_1)z + (\lambda^2z_2 - z_1)\bar{z} + |z_1|^2 - \lambda^2|z_2|^2 = 0. \end{aligned}$$

此时 $a = 1 - \lambda^2 \neq 0, \beta = \lambda^2z_2 - z_1, d = |z_1|^2 - \lambda^2|z_2|^2$. 验证可得

$$\begin{aligned} |\beta|^2 - ad &= (\lambda^4|z_2|^2 + |z_1|^2 - \lambda^2z_2\bar{z}_1 - \lambda^2\bar{z}_2z_1) - (1-\lambda^2)(|z_1|^2 - \lambda^2|z_2|^2) \\ &= \lambda^2(|z_1|^2 + |z_2|^2 - z_2\bar{z}_1 - \bar{z}_2z_1) = \lambda^2|z_1 - z_2|^2 > 0. \end{aligned}$$

所以由方程 $\left| \frac{z-z_1}{z-z_2} \right| = \lambda$ 确定的点的轨迹是一圆周, 圆心为 $\frac{z_1 - \lambda^2z_2}{1 - \lambda^2}$, 半径为 $\frac{\lambda|z_2 - z_1|}{1 - \lambda^2}$.

若 $\lambda = 1$, 则轨迹为 z_1z_2 连线的中垂线.

□

下面的球面表示均默认为北极投影. 回忆北极投影 $\pi: \mathbb{S}^2 \setminus \{N\} \rightarrow \mathbb{C}$ 为

$$(x_1, x_2, x_3) \mapsto \frac{x_1 + ix_2}{1 - x_3},$$

逆映射为

$$z \mapsto \left(\frac{z + \bar{z}}{1 + |z|^2}, \frac{z - \bar{z}}{i(1 + |z|^2)}, \frac{|z|^2 - 1}{|z|^2 + 1} \right).$$

1.3.1. 证明: 在复数的球面表示下, z 和 $\frac{1}{\bar{z}}$ 的球面像关于复平面对称.

证明. 计算 $\frac{1}{\bar{z}}$ 的球面像坐标为

$$x_1 = \frac{\frac{1}{\bar{z}} + \frac{1}{z}}{1 + \frac{1}{|z|^2}} = \frac{z + \bar{z}}{|z|^2 + 1}, \quad x_2 = \frac{\frac{1}{\bar{z}} - \frac{1}{z}}{i(1 + \frac{1}{|z|^2})} = \frac{z - \bar{z}}{i(|z|^2 + 1)}, \quad x_3 = \frac{\frac{1}{|z|^2} - 1}{\frac{1}{|z|^2} + 1} = \frac{1 - |z|^2}{1 + |z|^2}.$$

比较可得 z 与 $\frac{1}{\bar{z}}$ 的球面像关于复平面对称. □

1.3.2. 证明: 在复数的球面表示下, z 和 w 的球面像是对径点当且仅当 $z\bar{w} = -1$.

证明. 若 $z\bar{w} = -1$, 则 $-w = \frac{1}{\bar{z}}$, 由上题结论可得 z 与 $-w$ 的球面像关于复平面对称, 而 w 与 $-w$ 的球面像的竖坐标相等, 其余坐标相差一个负号, 所以 z 与 w 的球面像是对径点.

若 z 和 w 的球面像是对径点, 由于球极投影是从 $S^2 \setminus \{N\}$ 到 \mathbb{C} 的一一映射, 而由前面讨论可得 $-\frac{1}{\bar{z}}$ 的球面像与 z 的球面像是对径点, 所以 $w = -\frac{1}{\bar{z}} \Rightarrow z\bar{w} = -1$. □

1.7.3. 证明: 若 E 是紧集, f 在 E 上连续, 则 $f(E)$ 也是紧集. 将紧集换成闭集, 结论是否成立?

证明. 用 Heine-Borel 性质: 任取 $f(E)$ 的开覆盖 $\{U_\alpha : \alpha \in \Lambda\}$, 由 $\{f^{-1}(U_\alpha) : \alpha \in \Lambda\}$ 是 E 的开覆盖, 由 E 紧可得它存在有限子覆盖 $\{f^{-1}(U_{\alpha_i}) : i = 1, \dots, N\}$, 从而 $\{U_{\alpha_i} : i = 1, \dots, N\}$ 是 $f(E)$ 的开覆盖 $\{U_\alpha\}$ 的有限子覆盖.

用有界闭性质: 由定理 1.7.1(2) 可得有界性. 任取 $f(E)$ 中的 Cauchy 列 $w_n = f(z_n)$, 其中 $z_n \in E$. 由 E 紧致可得 $\{z_n\}$ 存在收敛于 E 的子列 $\{z_{n_k}\}$, 设其极限为 $z_0 \in E$, 再由 f 连续可得 $w_{n_k} = f(z_{n_k}) \rightarrow f(z_0) \in f(E)$, 结合 w_n 本身是 Cauchy 列可得 $w_n \rightarrow f(z_0) \in f(E)$, 所以 $f(E)$ 闭.

改为闭集不成立, 反例很多, 这里给一个: 设 $E = \{z \in \mathbb{C} : \operatorname{Re} z \geq 0\}$ 为右半平面, $f(z) \triangleq \frac{1}{|z|+1}$, 则 E 是闭集, f 在 E 上连续, 但 $f(E) = (0, 1]$ 不是闭集. □

1.7.5. 证明: 若 $f : D \rightarrow \mathbb{C}$ 在区域 D 上一致连续, 则对任意 $z_0 \in \partial D$, $\lim_{z \rightarrow z_0} f(z)$ 存在.

证明. 任取 $\varepsilon > 0$, 存在 $\delta = \delta(\varepsilon) > 0$, 使得对任意满足 $|z_1 - z_2| < \delta$ 的 $z_1, z_2 \in D$, 都有 $|f(z_1) - f(z_2)| < \varepsilon$. 由此可得任取 $z_1, z_2 \in B(z_0, \frac{\delta}{2}) \cap D$, 有 $|z_1 - z_2| < \delta$, 从而 $|f(z_1) - f(z_2)| < \varepsilon$. 由函数的 Cauchy 收敛准则可得 $\lim_{z \rightarrow z_0} f(z)$ 收敛. □

2.1.1. 研究下列函数的可微性.

(1) $f(z) = |z|$.

解答. 用定义: 在 $z_0 = 0$ 处, $\frac{f(z) - f(0)}{z - z_0} = \frac{|z|}{z}$. 当 z 取正实数时上式为 1, 取负实数时上式为 -1 , 所以 f 在 0 处不可微; 在 $z_0 \neq 0$ 处, 设 $z_0 = r_0 e^{i\theta_0}$. 我们考虑两种情况:

(1) $z = r_0 e^{i\theta}$, $\theta \rightarrow \theta_0$. 此时 $f(z) - f(z_0) = 0$.

(2) $z = r e^{i\theta_0}$, $r \rightarrow r_0$. 此时

$$\frac{f(z) - f(z_0)}{z - z_0} = \frac{r - r_0}{(r - r_0)e^{i\theta_0}} = e^{-i\theta_0}$$

为非零常数, 所以 f 在 $z_0 \neq 0$ 处也不可微.

用 C-R 方程: $f = \sqrt{x^2 + y^2} = \sqrt{z\bar{z}}$, 在 $z = 0$ 处不是实可微的, 进而不是复可微的. $z \neq 0$ 时, 有

$$\frac{\partial f}{\partial \bar{z}} = \frac{z}{2\sqrt{z\bar{z}}} = \frac{z}{2|z|} \neq 0.$$

所以 f 不是复可微的. □

(2) $f(z) = |z|^2$.

解答. 用定义: 整理可得

$$\frac{f(z_0 + h) - f(z_0)}{z_0} = \frac{|h|^2 + \bar{z}_0 h + z_0 \bar{h}}{h} = \bar{h} + \bar{z}_0 + z_0 \frac{\bar{h}}{h}.$$

若 $z_0 = 0$, 上式在 $h \rightarrow 0$ 时收敛于 0, 所以 f 在 0 处复可微, 导数为 0. 若 $z_0 \neq 0$, h 沿实轴逼近时上式收敛于 $\bar{z}_0 + z_0$, h 沿虚轴逼近时上式收敛于 $\bar{z}_0 - z_0$, 二者不相等, 所以 f 在 $z_0 \neq 0$ 处不是复可微的.

用 C-R 方程: 首先 $f = x^2 + y^2$ 处处实可微. 由 $f = z\bar{z}$ 可得 $\frac{\partial f}{\partial \bar{z}} = z$, 故 f 在 $z = 0$ 处复可微 (导数为 0), 其他点处不是复可微的. □

(3) $f(z) = \operatorname{Re} z$.

解答. 用定义: $\forall z \in \mathbb{C}$, 此时 $\frac{f(z+h) - f(z)}{h} = \frac{\operatorname{Re} h}{h}$. 若 $h \in \mathbb{R}$, 则 $\frac{\operatorname{Re} h}{h} = 1$, 若 $h \in i\mathbb{R}$, 则 $\frac{\operatorname{Re} h}{h} = 0$. 所以极限不存在, $f(z)$ 处处不可微.

用 C-R 方程: 实可微显然, 由 $f = \frac{z + \bar{z}}{2}$ 可得 $\frac{\partial f}{\partial \bar{z}} = \frac{1}{2} \neq 0$, 所以处处不是复可微的. □

(4) $f(z) = \arg z$.

解答. 定义域为 $z \neq 0$. 设 $z_0 = r_0 e^{i\theta_0} \neq 0$ ($-\pi < \theta_0 \leq \pi$), 考虑两种情况:

1. $z = r_0 e^{i\theta}$ ($-\pi < \theta \leq \pi$), $\theta \rightarrow \theta_0$. 此时

$$\frac{f(z) - f(z_0)}{z - z_0} = \frac{\theta - \theta_0}{r_0 e^{i\theta_0} (e^{i(\theta - \theta_0)} - 1)} \rightarrow \frac{1}{iz_0}, \text{ as } \theta \rightarrow \theta_0.$$

(最后一步可以把 $e^{i(\theta - \theta_0)}$ 分解为实虚部, 然后等价无穷小).

2. $z = r e^{i\theta_0}$, $r \rightarrow r_0$. 此时 $f(z) - f(z_0) \equiv 0$.

综上可得 $f(z) = \arg z$ 在 $z_0 \neq 0$ 处不可微. □

(5) $f(z)$ 为常数.

解答. 此时 $\frac{f(z+h) - f(z)}{h} \equiv 0$, 所以 f 处处可微, $f'(z) = 0$. □

2.1.4. 设区域 G 和区域 D 关于实轴对称. 证明: 如果 $f(z)$ 是 D 上的全纯函数, 那么 $g(z) = \overline{f(\bar{z})}$ 是 G 上的全纯函数.

证明. 直接计算可得

$$\lim_{h \rightarrow 0} \frac{g(z+h) - g(z)}{h} = \lim_{h \rightarrow 0} \frac{\overline{f(\bar{z} + \bar{h})} - \overline{f(\bar{z})}}{h} = \lim_{h \rightarrow 0} \overline{\left(\frac{f(\bar{z} + \bar{h}) - f(\bar{z})}{\bar{h}} \right)} = \overline{f'(\bar{z})}.$$

最后一步由 $z \mapsto \bar{z}$ 的连续性可得. □

上面这个习题是证明 Schwarz 对称定理的基本引理之一.

1.2 补充习题

以下补充题目均标明了来源, 具体题目可能略有改动.

1. (Stein 1.7(b)) 我们用 \mathbb{D} 表示复平面上的单位开圆盘. 对于固定的 $a \in \mathbb{D}$, 证明: \mathbb{D} 上的映射

$$F : z \mapsto \frac{a - z}{1 - \bar{a}z}$$

是 \mathbb{D} 上的全纯自同构.

证明. 由作业 1.1.6(1) 可得 $|F(z)| < 1, \forall z \in \mathbb{D}$, 这说明 F 是从 \mathbb{D} 到自身的映射. 由 $|a| < 1$ 可得 F 在 \mathbb{D} 内全纯.

然后先证明 F 是满射. 事实上, 计算可得

$$F(F(z)) = \frac{a - F(z)}{1 - \bar{a}F(z)} = \frac{a - \frac{a-z}{1-\bar{a}z}}{1 - \bar{a}\frac{a-z}{1-\bar{a}z}} = \frac{z(1-|a|^2)}{1-|a|^2} = z.$$

然后证单射. 设 $F(w) = F(w')$, 由 F 满可设 $w = F(z)$, 于是 $z = F(F(z)) = F(w) = F(w')$, 进而 $w = F(F(w')) = w'$, 即证. □

上面这题本身是很简单的, 但是它的背后其实有一个很漂亮的结论. 在 4.5 节, 我们将用 Schwarz(洗袜子) 引理证明: \mathbb{D} 上的全纯自同构一定和 F 的形式“差不多”, 有这样的结论:

$$\text{Aut}(\mathbb{D}) = \left\{ z \mapsto e^{i\theta} \frac{a - z}{1 - \bar{a}z} : \theta \in \mathbb{R}, a \in \mathbb{D} \right\}.$$

下面这一题是为补充内容第一节作的预备工作.

2. (史济怀 1.3.3) 证明: 在球极投影下, \mathbb{C}_∞ 中点 z, w 的球面像直线距离为

$$\rho(z, w) = \frac{2|z - w|}{\sqrt{(|z|^2 + 1)(|w|^2 + 1)}}.$$

证明. 设 z, w 的球面像分别为 $(x_1, x_2, x_3), (y_1, y_2, y_3)$. 先设 $z, w \neq \infty$. 则

$$\rho(z, w) = \sqrt{(x_1 - y_1)^2 + (x_2 - y_2)^2 + (x_3 - y_3)^2} = \sqrt{2(1 - x_1y_1 - x_2y_2 - x_3y_3)}.$$

代入球面像公式可得

$$\begin{aligned} x_1y_1 + x_2y_2 + x_3y_3 &= \frac{(z + \bar{z})(w + \bar{w}) - (z - \bar{z})(w - \bar{w}) + (|z|^2 - 1)(|w|^2 - 1)}{(1 + |z|^2)(1 + |w|^2)} \\ &= \frac{(|z|^2 - 1)(|w|^2 - 1) + 2(z\bar{w} + \bar{z}w)}{(1 + |z|^2)(1 + |w|^2)} \end{aligned}$$

代回即可得

$$\rho(z, w) = 2\sqrt{\frac{|z|^2 + |w|^2 - z\bar{w} - \bar{z}w}{(|z|^2 + 1)(|w|^2 + 1)}} = \frac{2|z - w|}{\sqrt{(|z|^2 + 1)(|w|^2 + 1)}}.$$

若 z, w 一者为 ∞ , 容易验证结论成立. □

3. (复习连通性, 不属于复变范畴的习题) 证明: “拓扑学家的正弦曲线”

$$E = \left\{ \left(x, \sin \frac{1}{x} \right) : 0 < x \leq 1 \right\} \cup \{(0, y) : -1 \leq y \leq 1\} \triangleq A \cup B$$

是连通而非道路连通的.

回顾. 这里我们应用点集拓扑里的一般定义, 它与教材里的定义是等价的. 称拓扑空间 (X, \mathcal{T}) 是连通的, 是指不存在 X 的非空不交开子集 U, V , 使得 $X = U \cup V$. 或者等价地, X 不存在非空的既开又闭真子集. 称 $A \subset X$ 是连通子集, 是指 A 在子空间拓扑下成为连通空间.

证明. 为了证明连通性, 我们先证明一般拓扑意义下的一个引理:

引理. 设 X 为拓扑空间. 若 $E \subset X$ 为连通子集, 则 \bar{E} 也是连通子集.

证明. 设 U 是 \bar{E} 非空的既开又闭子集 (从而是全空间 X 的闭集), 由于 E 在 \bar{E} 中稠密, 故 $E \cap U$ 是 E 的非空既开又闭子集, 由 E 连通可得 $E \cap U = E \Rightarrow E \subset U$, 即 U 是包含 E 的闭集, 因此 $\bar{E} \subset U$, 即 U 只能为 \bar{E} . 所以 \bar{E} 是连通的.

回到原题证明. 不难验证 $E = \bar{A}$, 而 A 作为连续函数图像是连通的, 所以 $E = \bar{A}$ 连通.

然后证明 E 非道路连通. 假设不然, 则存在连接 $(0, 0)$ 与 $(\frac{2}{\pi}, 1)$ 的连续道路 $\gamma: [0, 1] \rightarrow E, t \mapsto (x(t), y(t))$. 选取 $t_0 = 1$, 则 $y(t_0) = 1$. 由连续函数的介值性, 可以选取 $0 < t_0 < t_1$ 使得 $x(t_1) = \frac{2}{3\pi}$, 则 $y(t_1) = \sin \frac{3\pi}{2} = -1$. 再选取 $0 < t_2 < t_1$, 使得 $x(t_2) = \frac{2}{5\pi}$, 则 $y(t_2) = 1$. 以此类推, 可以得到数列 t_k , 对应 $y(t_k) = (-1)^k$. 注意到 $\{t_k\}$ 是严格递减有下界 0 的, 所以存在极限 $t_0 \geq 0$. 由于 $y(\cdot)$ 是连续函数, 故 $y(t_k)$ 为 Cauchy 列, 这与 $y(t_k) = (-1)^k$ 矛盾. 所以 E 不是道路连通的. □

3. (Stein 1.8, 史济怀 2.1.3 是其推论) 设 U, V 为复平面上的有交开集. 证明复变函数的链式法则: 若 $f = f : U \rightarrow \mathbb{C}, z \mapsto f(z, \bar{z}), g : V \rightarrow \mathbb{C}, w \mapsto g(w, \bar{w})$ 是可微的, 设 $h = g \circ f : U \cap V \rightarrow \mathbb{C}$, 则

$$\frac{\partial h}{\partial z} = \left(\frac{\partial g}{\partial w} \circ f \right) \frac{\partial f}{\partial z} + \left(\frac{\partial g}{\partial \bar{w}} \circ f \right) \frac{\partial \bar{f}}{\partial z}, \quad \frac{\partial h}{\partial \bar{z}} = \left(\frac{\partial g}{\partial w} \circ f \right) \frac{\partial f}{\partial \bar{z}} + \left(\frac{\partial g}{\partial \bar{w}} \circ f \right) \frac{\partial \bar{f}}{\partial \bar{z}}.$$

由此给出全纯函数的链式法则.

复平面上的外微分算子. 这一题当然可以按照 $\frac{\partial}{\partial z}, \frac{\partial}{\partial \bar{z}}$ 的定义直接硬算, 这里我给出一个借助复平面上的外微分算子 d 的简单证法. 首先简要介绍 \mathbb{C} 上的外微分算子 d . 由 $z = x + iy, \bar{z} = x - iy$ 可得

$$dz = dx + idy, \quad d\bar{z} = dx - idy \Rightarrow dx = \frac{dz + d\bar{z}}{2}, \quad dy = \frac{dz - d\bar{z}}{2i}.$$

由此可得

$$\begin{aligned} df &= \frac{\partial f}{\partial x} dx + \frac{\partial f}{\partial y} dy \\ &= \left(\frac{\partial f}{\partial z} + \frac{\partial f}{\partial \bar{z}} \right) \frac{dz + d\bar{z}}{2} + i \left(\frac{\partial f}{\partial z} - \frac{\partial f}{\partial \bar{z}} \right) \frac{dz - d\bar{z}}{2i} \\ &= \frac{\partial f}{\partial z} dz + \frac{\partial f}{\partial \bar{z}} d\bar{z}. \end{aligned}$$

¹我们引入 1-形式值算子 $\partial \triangleq \frac{\partial}{\partial z} dz, \bar{\partial} \triangleq \frac{\partial}{\partial \bar{z}} d\bar{z}$, 则上式可以写为

$$d = \partial + \bar{\partial}.$$

∂ 和 $\bar{\partial}$ 是标准记号, 在其他课程中讨论具有复结构的流形或曲面时总会出现. 它们有如下简单性质:

$$\partial^2 = \bar{\partial}^2 = \partial\bar{\partial} + \bar{\partial}\partial = 0.$$

这是 Poincaré 等式 $d^2 = 0$ 的直接推论².

证明. 设 $w = f(z)$, 则

$$dw = \frac{\partial f}{\partial z} dz + \frac{\partial f}{\partial \bar{z}} d\bar{z}.$$

¹也可以高射炮打蚊子: 由于 (z, \bar{z}) 构成复平面的另一个坐标, 由于外微分算子的形式不变性, 此式立得.

²对于一般的函数 $f : \mathbb{C}^n \rightarrow \mathbb{C}^n$, 仍然可以定义类似的记号. 设 $(x_1, y_1, \dots, x_n, y_n)$ 为标准坐标, $z_k = x_k + iy_k, \bar{z}_k = x_k - iy_k$. 定义

$$\partial \triangleq \sum_{k=1}^n \frac{\partial}{\partial z_k} dz_k, \quad \bar{\partial} \triangleq \sum_{k=1}^n \frac{\partial}{\partial \bar{z}_k} d\bar{z}_k.$$

则可以验证完全类似的结论:

$$d = \partial + \bar{\partial}, \quad \partial^2 = \bar{\partial}^2 = \partial\bar{\partial} + \bar{\partial}\partial = 0.$$

$$d\bar{w} = \frac{\partial \bar{f}}{\partial z} dz + \frac{\partial \bar{f}}{\partial \bar{z}} d\bar{z}.$$

由此可得

$$\begin{aligned} dh &= \frac{\partial g}{\partial w}(w, \bar{w})dw + \frac{\partial g}{\partial \bar{w}}(w, \bar{w})d\bar{w} \\ &= \left(\frac{\partial g}{\partial w} \circ f\right) \left(\frac{\partial f}{\partial z} dz + \frac{\partial f}{\partial \bar{z}} d\bar{z}\right) + \left(\frac{\partial g}{\partial \bar{w}} \circ f\right) \left(\frac{\partial \bar{f}}{\partial z} dz + \frac{\partial \bar{f}}{\partial \bar{z}} d\bar{z}\right) \\ &= \left[\left(\frac{\partial g}{\partial w} \circ f\right) \frac{\partial f}{\partial z} + \left(\frac{\partial g}{\partial \bar{w}} \circ f\right) \frac{\partial \bar{f}}{\partial z}\right] dz + \left[\left(\frac{\partial g}{\partial w} \circ f\right) \frac{\partial f}{\partial \bar{z}} + \left(\frac{\partial g}{\partial \bar{w}} \circ f\right) \frac{\partial \bar{f}}{\partial \bar{z}}\right] d\bar{z}. \end{aligned}$$

结合 $dh = \frac{\partial h}{\partial z} dz + \frac{\partial h}{\partial \bar{z}} d\bar{z}$, 比对 $dz, d\bar{z}$ 的系数即证. □

下面我们给两个实际的例子, 帮同学们熟悉复微分算子的计算.

4. 以下 D, Ω 均为 \mathbb{C} 中的区域.

(1) (史济怀 2.2.8) 设 $f \in H(D)$, 证明: 对任意 $p \geq 2$, 都有

$$\Delta(|f(z)|^p) = p^2|f(z)|^{p-2}|f'(z)|^2.$$

(2) (史济怀 2.2.14) 设 $u \in C^2(\Omega)$, $f \in H(D)$, 并且 $f(D) \subset \Omega$. 证明: $\Delta(u \circ f) = (\Delta u \circ f)|f'|^2$.

证明. (1) 由调和算子的复微分形式可得

$$\begin{aligned} \Delta(|f(z)|^p) &= 4 \frac{\partial^2}{\partial z \partial \bar{z}} (f(z) \overline{f(z)})^{\frac{p}{2}} \\ &= 2p \frac{\partial}{\partial z} \left(\frac{\partial f}{\partial \bar{z}} \bar{f} + f \frac{\partial \bar{f}}{\partial \bar{z}} \right) (f \bar{f})^{\frac{p}{2}-1} \\ &= 2p \frac{\partial}{\partial z} (f \bar{f}') (f \bar{f})^{\frac{p}{2}-1} \\ &= 2p |f'|^2 |f|^{p-2} + 2p \left(\frac{p}{2} - 1\right) (f \bar{f}') f' \bar{f} |f|^{p-4} \\ &= p^2 |f|^{p-2} |f'|^2. \end{aligned}$$

从这个式子出发可以得到一个很有意思的结论. 在上学期的微分方程学习中我们知道了: 在有界区域 D 上次调和函数 (即满足 $\Delta u \geq 0$ 的函数) 满足强最大值原理, 即 u 的最大值不可能在 D 内部取到, 除非 u 是常数. 根据本题的结论, 我们知道 $|f(z)|^p (p \geq 2)$ 是次调和函数, 若 $|f(z)|$ 非常值 (其实这就等价于 f 非常值), 则 $|f(z)|^p$ 的最大值只能在边界 ∂D 上取到, 进而 $|f(z)|$ 的最大值只能在 ∂D 上取到. 这就是全纯函数的**最大模原理**. 在 4.5 节, 我们将用全纯映射是开映射这一性质来证明最大模原理.

(2) 利用复微分的链式法则, 计算可得

$$\begin{aligned}\Delta(u \circ f) &= 4 \frac{\partial^2}{\partial z \partial \bar{z}}(u \circ f) = 4 \frac{\partial}{\partial z} \left[\left(\frac{\partial u}{\partial z} \circ f \right) \frac{\partial f}{\partial \bar{z}} + \left(\frac{\partial u}{\partial \bar{z}} \circ f \right) \frac{\partial \bar{f}}{\partial \bar{z}} \right] \\ &= 4 \frac{\partial}{\partial z} \left[\left(\frac{\partial u}{\partial \bar{z}} \circ f \right) \frac{\partial \bar{f}}{\partial \bar{z}} \right] = 4 \frac{\partial}{\partial z} \left(\frac{\partial u}{\partial \bar{z}} \circ f \right) \frac{\partial \bar{f}}{\partial \bar{z}} \\ &= 4 \left[\left(\frac{\partial^2 u}{\partial z \partial \bar{z}} \circ f \right) \frac{\partial f}{\partial z} + \left(\frac{\partial^2 u}{\partial \bar{z}^2} \circ f \right) \frac{\partial f}{\partial \bar{z}} \right] \frac{\partial \bar{f}}{\partial \bar{z}} \\ &= (\Delta u \circ f) |f'|^2.\end{aligned}$$

这个结论告诉我们: 若 u 在 Ω 上调和 (resp. 次调和), 则它复合一个全纯映射 $u \circ f$ 也是调和 (resp. 次调和) 的. 这样 $u \circ f$ 同样保持一些良好的性质, 例如最大值原理, 平均值公式等.

□

5. (Ahlfors 2.1.2 正文, 史济怀 2.2.18, 介绍性题目, 无需掌握) 证明: 若 $u(x, y)$ 是关于 $(x, y) \in \mathbb{R}^2$ 的实调和多项式, 则

$$f(z) = 2u\left(\frac{z}{2}, \frac{z}{2i}\right) - u(0, 0)$$

是整函数, 并且对任意 $z = x + iy \in \mathbb{C}$, $\operatorname{Re} f(z) = u(x, y)$.

我们先简要介绍这个 $f(z)$ 是如何凑出来的. 我们知道, 从单连通区域 D 上的实调和函数 u 出发, 可以通过构造积分

$$v(x, y) = \int_{(x_0, y_0)}^{(x, y)} -\frac{\partial u}{\partial y} dx + \frac{\partial u}{\partial x} dy$$

得到 u 的共轭调和函数 v , 从而构造以 u 为实部的全纯函数 $f = u + iv$. 那么有没有不用积分, 而是显式构造以 u 为实部的全纯函数的方法呢? Ahlfors 在他的复分析 2.1.2 节提到了这样一个方法.

我们设全纯函数 f 以调和函数 u 为实部, 定义域为单连通区域. 注意到

$$\frac{\partial \bar{f}}{\partial z} = \frac{\partial \bar{f}}{\partial \bar{z}} = 0.$$

因此 $\bar{f}(z)$ 只与 \bar{z} 有关, 设 $\bar{f}(z) = g(\bar{z})$. 这时

$$u(x, y) = \frac{f(x + iy) + \overline{f(x + iy)}}{2} = \frac{f(x + iy) + g(x - iy)}{2}.$$

为了形式上解出 f , 我们代入 $x = \frac{z}{2}, y = \frac{z}{2i}$, 可得

$$u\left(\frac{z}{2}, \frac{z}{2i}\right) = \frac{f(z) + g(0)}{2} = \frac{f(z) + \overline{f(0)}}{2}.$$

由于所需要确定的 f 可以相差一个纯虚数常数, 不妨设 $f(0) \in \mathbb{R}$, 由此可得 $f(0) = u(0, 0)$, 所以

$$f(z) = 2u\left(\frac{z}{2}, \frac{z}{2i}\right) - u(0, 0).$$

这就从形式上确定了 f . 史济怀上的习题 2.2.18 实际上就是对于 u 是调和多项式的情况严格说明了这样定义的 f 确实是以 u 为实部的全纯函数, 现在我们给出详细证明.

证明. 全纯性是显然的, 下面证明 $\operatorname{Re} f(z) = u(x, y)$. 设

$$u(x, y) = \sum_{j=0}^m \sum_{k=0}^n a_{jk} x^j y^k, \quad a_{jk} \in \mathbb{R}.$$

代入 $x = \frac{z + \bar{z}}{2}$, $y = \frac{z - \bar{z}}{2i}$ 可得

$$u\left(\frac{z + \bar{z}}{2}, \frac{z - \bar{z}}{2i}\right) = \sum_{j=0}^m \sum_{k=0}^n a_{jk} \left(\frac{z + \bar{z}}{2}\right)^j \left(\frac{z - \bar{z}}{2i}\right)^k \triangleq u(0, 0) + u_1(z) + u_2(\bar{z}) + u_3(z, \bar{z}).$$

其中, $u(0, 0) = a_{00}$ 为常数项, $u_1(z)$ 是仅与 z 有关的多项式 (从而全纯), $u_2(\bar{z})$ 是仅与 \bar{z} 有关的多项式, $u_3(z, \bar{z})$ 是每项都与 z, \bar{z} 有关的多项式. 由展开式可得

$$u_1(z) = \sum_{j=0}^m \sum_{k=0}^n a_{jk} \left(\frac{z}{2}\right)^j \left(\frac{z}{2i}\right)^k - u(0, 0).$$

$$u_2(\bar{z}) = \sum_{j=0}^m \sum_{k=0}^n a_{jk} \left(\frac{\bar{z}}{2}\right)^j \left(\frac{\bar{z}}{2i}\right)^k - u(0, 0).$$

$$u_3(z, \bar{z}) = \sum_{j,k=1}^{m+n} b_{jk} z^j \bar{z}^k.$$

其中 b_{jk} 为一些实系数. 首先由 u_1, u_2 的形式可得 $u_2(\bar{z}) = \overline{u_1(z)}$. 由于 u 是调和函数, 所以

$$0 = \frac{\partial^2 u}{\partial z \partial \bar{z}} = \frac{\partial^2 u_3}{\partial z \partial \bar{z}} = \sum_{j,k=1}^{m+n} j k b_{jk} z^{j-1} \bar{z}^{k-1}.$$

这说明 $j k b_{jk} = 0 \Rightarrow b_{jk} = 0, \forall 1 \leq j, k \leq m+n$, 所以 u_3 恒为零. 因此

$$u(x, y) = u(0, 0) + u_1(z) + \overline{u_1(z)}.$$

由 $u_1(z)$ 的定义式可得

$$u_1(z) = u\left(\frac{z}{2}, \frac{z}{2i}\right) - u(0, 0) = \frac{f(z) - u(0, 0)}{2}.$$

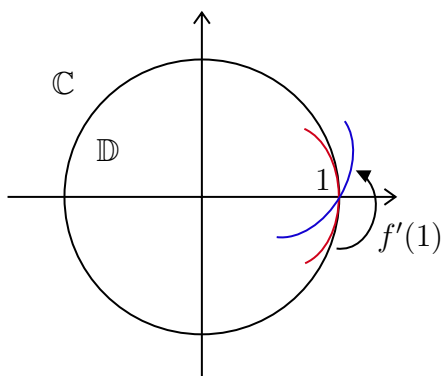
代回即可得

$$u(x, y) = \frac{f(z) + \overline{f(z)}}{2} = \operatorname{Re} f(z).$$

□

6. (史济怀 2.3.3) 设 f 在 $\mathbb{D} \cup \{1\}$ 上全纯, 并且 $f(\mathbb{D}) \subset \mathbb{D}$, $f(1) = 1$. 证明: $f'(1) \geq 0$.

分析. 先从几何直观考虑. 我们考虑 $f'(1) \neq 0$ 的情况, 此时 $f'(1)$ 是保角的. 如果 $\arg f'(1) \neq 0$, 那么它就会将过点 1 处的曲线旋转一定角度. 如图所示, 我们取一段包含在 \mathbb{D} 内“足够竖直”的圆弧, 与 \mathbb{D} 的切点为 1. 此时在 f 的作用下, 这段圆弧被旋转了一定角度, 跑到了 \mathbb{D} 外面. 但 $f(\mathbb{D}) \subset \mathbb{D}$, \mathbb{D} 内的弧线段在作用后仍应该位于圆盘内, 这就导出了矛盾. 下面我们给出严格的证明.



证明. 由 f 在 $z = 1$ 处全纯可得, 在 $z = 1$ 附近成立

$$f(z) = f(1) + f'(1)(z - 1) + o(|z - 1|) = 1 + f'(1)(z - 1) + o(|z - 1|), \quad |z| < 1.$$

由 $f(\mathbb{D}) \subset \mathbb{D}$ 可得 $|f(z)| < 1$, 因此

$$1 > |f(z)|^2 = 1 + 2 \operatorname{Re}(f'(1)(z - 1)) + o(|z - 1|).$$

设 $z - 1 = re^{i\theta}$, 则有

$$\operatorname{Re}(f'(1) \cdot re^{i\theta}) + o(r) < 0.$$

这里 θ 的取值范围是 $(\frac{\pi}{2}, \frac{3\pi}{2})$. 令 $r \rightarrow 1$, 即可得

$$\operatorname{Re}(f'(1)e^{i\theta}) \leq 0, \quad \forall \theta \in \left(\frac{\pi}{2}, \frac{3\pi}{2}\right).$$

设 $\varphi = \arg f'(1)$, 则 $\cos(\varphi + \theta) \leq 0, \forall \theta \in (\frac{\pi}{2}, \frac{3\pi}{2})$, 由此即可得 $\varphi = 0$, 因此 $f'(1) = |f'(1)| \geq 0$. □

2 补充内容

本次习题课的补充内容都是介绍性的, 了解即可.

2.1 关于 Riemann 球面的进一步讨论

我们从扩充复平面的谈起. 在复分析的学习中, 无穷远点这一概念常常会出现. 例如它可以作为某些复变函数的孤立奇点. 但是, 我们对复变函数的分析是建立在良好的度量与拓扑结构上的, 如果仅仅把 ∞ 生硬地加入复平面这个家, 这时我们很难展开对这样一个朴素集合 $\mathbb{C}_\infty = \mathbb{C} \cup \{\infty\}$ 的分析. 而这时 Riemann 球面与球极投影就帮了我们的忙. 阅读本节需要一丢丢点集拓扑的基础 (很简单的基础! 如果有同学不了解可以问问 chatgpt).

回顾一类常用的构造拓扑³的方法: 设 (X, \mathcal{T}_X) 为拓扑空间, Y 为非空集合, $f: X \rightarrow Y$ 为一个映射. 则 Y 上可以定义如下拓扑⁴:

$$\mathcal{T}_Y = \{U \subset Y : f^{-1}(U) \in \mathcal{T}_X\}.$$

现在我们来考察北极投影 $\pi: \mathbb{S}^2 \rightarrow \mathbb{C}_\infty$, \mathbb{S}^2 上自带一个子空间拓扑, 所以我们可以把球面拓扑通过一一映射 π 移植在 \mathbb{C}_∞ 上, 这样 \mathbb{C}_∞ 就有了余诱导拓扑 \mathcal{T}_π .

这个拓扑结构是不是足够“好”的呢? 我们需要验证: \mathbb{C} 上由度量给出的拓扑就等于它作为 \mathbb{C}_∞ 的子空间继承而来的拓扑. 这一点是容易验证的, 因为 \mathbb{C} 与 $\mathbb{S}^2 \setminus \{N\}$ 同胚, 同胚映射即为球极投影. 另一方面, 可以验证球极投影将球面上的圆周映为 \mathbb{C} 上的圆周, 我们可以看到, 球极投影把北极点附近的一个小球冠映成了区域 $\{z \in \mathbb{C}_\infty : |z| \geq R\}$, 所以该区域就是 ∞ 的一个邻域. 注意到球面 \mathbb{S}^2 是紧致的, 所以 $\mathbb{C}_\infty \cong \mathbb{S}^2$ 也是紧致的. 这是一个有趣的发现: 我们给无穷平面新加一个点, 竟然获得了紧致的拓扑空间! 实际上, 这个操作是可以一般化的, 拓扑学上称之为**一点紧致化**⁵.

下面, 我们给出 \mathbb{C}_∞ 上的度量 ρ . 实际上我们早就给出来了, 正是补充习题第 2 题, 即

$$\rho(z, w) \triangleq |\pi(z) - \pi(w)| = \frac{2|z - w|}{\sqrt{(|z|^2 + 1)(|w|^2 + 1)}}.$$

我们来验证上式确实是一个度量.

1. 正定性: 非负显然. 若 $\rho(z, w) = 0$, 则 $\pi(z) = \pi(w)$, 从而 $z = w$.
2. 对称性显然.
3. 三角不等式: 任取 $z, w, \zeta \in \mathbb{C}_\infty$, 则

$$\rho(z, \zeta) = |\pi(z) - \pi(\zeta)| \leq |\pi(z) - \pi(w)| + |\pi(w) - \pi(\zeta)| = \rho(z, w) + \rho(w, \zeta).$$

³为了节省篇幅, 讲义中省略了一些定义, 例如拓扑、度量等.

⁴这个拓扑有个名字, 叫**余诱导拓扑** (co-induced topology), 它是 Y 上使得 f 连续的最强拓扑.

⁵设 (X, \mathcal{T}) 是不紧致的 Hausdorff 空间, 元素 $\omega \notin X$. 定义 $X_* = X \cup \{\omega\}$, 以及 X_* 的子集族

$$\mathcal{T}_* = \mathcal{T} \cup \{X_*\} \cup \{X_* \setminus K : K \text{ 是 } X \text{ 的紧致子集}\}.$$

可以验证: (1) (X_*, \mathcal{T}_*) 是紧致拓扑空间; (2) \mathcal{T}_* 在 X 上诱导的子空间拓扑就等于 \mathcal{T} . 称 (X_*, \mathcal{T}_*) 是 (X, \mathcal{T}) 的**一点紧致化**. 例如, $\mathbb{C}_\infty \cong \mathbb{S}^2$ 即为 \mathbb{C} 的一点紧致化; 更一般地, $\mathbb{S}^n = \{(x_1, \dots, x_{n+1}) \in \mathbb{R}^{n+1} : x_1^2 + \dots + x_{n+1}^2 = 1\}$ 同胚于 \mathbb{R}^n 的一点紧致化.

可以看到, ρ 在 \mathbb{C}_∞ 上诱导的拓扑 \mathcal{T}_ρ 和余诱导拓扑 \mathcal{T}_π 都是通过球极投影把球面上的度量拓扑移植到扩充复平面上, 所以二者定义了相同的拓扑. 一个直接的推论是: $(\mathbb{C}_\infty, \rho)$ 是紧致度量空间, 所以是完备的. 而我们注意到, 在这个度量下 $\rho(z, \infty) = \frac{2}{\sqrt{|z|^2+1}}$, 所以 ∞ 所在的开球必然形如 $\{z \in \mathbb{C}_\infty : |z| \geq R\}$, 这也解释了在一些复分析教材上 $B(\infty, R)$ 的定义.

(下面是关于黎曼曲面的一点介绍, 可以不看) 上面我们谈论了球极投影对于扩充复平面的意义, 它把球面上的拓扑结构和度量结构移植到了 \mathbb{C}_∞ 上. 反过来, 球极投影实际上也给出了球面 \mathbb{S}^2 上的复结构. 设 $U = \mathbb{S}^2 \setminus \{N\}$, $V = \mathbb{S}^2 \setminus \{S\}$ (这里 N 为北极点, S 为南极点), 则 $\{U, V\}$ 给出了 \mathbb{S}^2 的开覆盖. 通过北极与南极对应的球极投影, 我们知道 U, V 都同胚于 \mathbb{C} , 这就说明球面在局部可以等同于 \mathbb{C} 上的开集. 若记 π 为北极投影, p 为南极投影, 我们称 $(U, \pi), (V, p)$ 是球面上的复坐标. 计算可得 $\pi^{-1} \circ p = \frac{1}{z} : \mathbb{C}^\times \rightarrow \mathbb{C}^\times$, 为全纯映射, 这时我们称这两个复坐标是相容的, 构成 \mathbb{S}^2 上的复图册 (complex atlas). 这个复图册实际就给出了球面上的复结构, 此时球面成为一个黎曼曲面 (满足一些良好的拓扑性质⁶, 又存在一个复图册). 这样, 我们就可以把复分析里一些手法用于球面等黎曼曲面上的研究, 而不仅限于复平面.

2.2 关于全纯映射几何意义的一些补充

复变函数中最重要的内容之一就是引入了全纯函数的概念, 它直接说明了研究复变函数的重要性: 全纯 (复可微) 并不等同于实可微! 它对函数的要求要强得多. 这里我们补充说明并简单介绍全纯函数的一些几何性质.

先对课上讨论过的保角性作一些补充. 我们已证明了: 若 f 为区域 D 上的全纯映射, 且在 $z_0 \in D$ 处满足 $f'(z_0) \neq 0$, 则 f 在 z_0 处是保角的. 现在我们将要说明: 若 $f'(z_0) = 0$, 则 f 在 z_0 处一定不保角.

为了说明这一点, 我们先来讨论 $f(z) = z^m$ 在原点处是否保角, 这里 $m \geq 2$ 为正整数. 任取过原点的光滑正则曲线 $\gamma(t)$, 则像曲线为 $\sigma(t) = (\gamma(t))^m$, 从而 $\sigma'(t) = m\gamma'(t)(\gamma(t))^{m-1}$. 此时

$$\text{Arg } \sigma'(t) = \text{Arg } \gamma'(t) + (m-1) \text{Arg } \gamma(t).$$

由此即可得

$$\lim_{t \rightarrow 0} \text{Arg } \sigma'(t) = \lim_{t \rightarrow 0} \text{Arg } \gamma'(t) + (m-1) \lim_{t \rightarrow 0} \text{Arg } \frac{\gamma(t)}{t} = m \text{Arg } \gamma'(0).$$

所以 $\text{Arg } \sigma'(0) = m \text{Arg } \gamma'(0)$, 对应地

$$\text{Arg } \sigma'_2(0) - \text{Arg } \sigma'_1(0) = m(\text{Arg } \gamma'_2(0) - \text{Arg } \gamma'_1(0)),$$

所以 f 不再保角, 而是将夹角变为原来的 m 倍.

⁶更确切地说, 是指 Hausdorff 以及第二可数

对于一般的全纯函数,不妨设 $z_0 = 0$, 且 $f'(0) = 0$. 我们先提前用一下 Taylor 展开 (对于复变函数, 全纯与解析 (局部可展开为幂级数) 是等价的):

$$f(z) - f(0) = a_m z^m + a_{m+1} z^{m+1} + \dots$$

这里 $m \geq 2$, a_m 为非零复数. 此时 f 实际就把曲线的夹角扩大为原来的 m 倍.

现在我们从切映射的角度来讨论全纯函数的几何性质. 从二元实函数 $f(x, y)$ 入手, 这时函数的微分 df 给出了从切空间 $T_{(x,y)}\mathbb{R}^2$ 到 $T_{f(x,y)}\mathbb{R}^2$ 的实线性变换⁷. 现在, 我们在 \mathbb{R}^2 上赋予复数的代数结构, 这时我们可以自然地考虑: 何时 f 能成为复线性映射? 实际上, 我们有下述定理.

定理 1. f 在 $z \in \mathbb{C}$ 处复可微, 当且仅当 f 在 $z \in \mathbb{C}$ 处实可微, 且 $df : T_z\mathbb{C} \rightarrow T_{f(z)}\mathbb{C}$ 是复线性映射.

证明. 我们实际只需证明, 在 f 实可微时, $df : T_z\mathbb{C} \rightarrow T_{f(z)}\mathbb{C}$ 是复线性映射等价于 Cauchy-Riemann 方程在 z 处成立. 设 $f = u + iv$. 若将 $T_z\mathbb{C}$ 视为 \mathbb{C} , 则 $1 = (1, 0), i = (0, 1)$ 是该切空间的一组基. 计算可得

$$df(i(1, 0)) = df((0, 1)) = (u_y, v_y), \quad idf((1, 0)) = i(u_x, v_x) = (-v_x, u_x).$$

$$df((0, 1)i) = f((-1, 0)) = (-u_x, -v_x), \quad idf((0, 1)) = i(u_y, v_y) = (-v_y, u_y).$$

由上述即证. □

复线性条件是一个代数条件. 现在, 我们从几何角度来讨论该条件. 任取 $X \in T_{(x,y)}\mathbb{R}^2 \cong \mathbb{C}$, $X \mapsto iX$ 可以视作在切平面上面的一个作用, 它把切向量逆时针旋转了 $\frac{\pi}{2}$ ⁸. 所以, 我们得到了一族光滑映射 $j = \{j_z : T_z\mathbb{C} \rightarrow T_z\mathbb{C} \mid z \in \mathbb{C}\}$, $j_z(X) = iX$. 每个切平面 $T_z\mathbb{C}$ 上存在自然的基 $e_1 = (1, 0), e_2 = (0, 1)$, 在作用 j_z 下变换为 $e_1 \mapsto e_2, e_2 \mapsto -e_1$. 在上述记号下, f 在 z 处全纯等价于 $(df)_z \circ j_z = j_z \circ (df)_z$, 在 \mathbb{C} 上全纯等价于 $df \circ j = j \circ df$. 这是全纯的另一种等价定义.

(下面是一些超前介绍, 可以不看) 实际上, 对于一般的复流形 (例如球面), 它们在局部与 \mathbb{C}^n 中的开集同胚, 也可以定义完全类似的作用 (比如球面, 它在北极邻域与南极邻域与 \mathbb{C} 同胚):

$$j_p : T_pM \rightarrow T_pM, \quad \frac{\partial}{\partial x_i} \mapsto \frac{\partial}{\partial y_i}, \quad \frac{\partial}{\partial y_i} \mapsto -\frac{\partial}{\partial x_i},$$

这里 $\{\frac{\partial}{\partial x_1}, \frac{\partial}{\partial y_1}, \dots, \frac{\partial}{\partial x_n}, \frac{\partial}{\partial y_n}\}$ 是切空间 T_pM 的一组基. 这是由流形上的复结构定义的作用. 设 $(M, j_M), (N, j_N)$ 为复流形, 则光滑映射 $f : M \rightarrow N$ 全纯等价于 $df \circ j_M = j_N \circ df$.

⁷课上细讲这个概念

⁸这其实也说明了, 若 df 是单射 (即 f 是浸入, 此时表现为局部微分同胚), 则 df 是保角的. 这就是我们课上所讲的保角性

这种定义的重要之处在于, 我们可以适当放松对函数族 j 的要求, 来获得更一般的几何结构与函数性质. 例如: 如果光滑映射族 $J = \{J_p : T_p M \rightarrow T_p M\}$ 满足 $J_p^2 = -\mathbf{1}$, 我们就称 J 是一般流形 M 上的**近复结构**. 在这种意义下, 我们可以定义所谓**拟全纯函数** (J-holomorphic function) 为 $f : (M, J_M) \rightarrow (N, J_N)$, 满足 $df \circ J_M = J_N \circ df$. 容易看到, 复结构是特殊的近复结构, 全纯函数是特殊的拟全纯函数.

综上所述, 全纯概念不仅仅是分析学上很重要的概念, 它还拥有着很深刻的几何意义. 复分析这门课也是兼具分析与几何特征的课程!

(如果还有些时间, 这里可以前瞻性地介绍一些这学期会学到的全纯函数的分析性质, 讲义里不再赘述)